

## سنگ‌شناسی و زیست‌چینه‌نگاری سازنده‌های آقچاگیل و آپشرون بر اساس نانوپلانکتون‌های آهکی در دشت گرگان: کاربرد در بازسازی جغرافیای دیرینه حوضه خزر جنوبی

محمود شرفی<sup>\*</sup>، نسیم موسوی<sup>۲</sup>، مهران مرادپور<sup>۳</sup>، بیژن بیرانوند<sup>۴</sup>، ئارام بایت‌گل<sup>۵</sup>، و حسین مهاجرسلطانی<sup>۶</sup>

۱- استادیار گروه زمین‌شناسی، دانشکده علوم‌پایه، دانشگاه هرمزگان، بندرعباس

۲- دکترا زمین‌شناسی، پژوهشگاه صنعت نفت، تهران

۳ و ۴- استادیار گروه زمین‌شناسی، پژوهشگاه صنعت نفت، تهران

۵- استادیار دانشکده علوم‌زمین، دانشگاه تحصیلات تکمیلی علوم‌پایه زنجان، زنجان

۶- کارشناس ارشد رسوب‌شناسی و سنگ‌شناسی رسوی، شرکت نفت خزر، تهران

نویسنده مسئول: sharafi2262@gmail.com

پذیرش: ۱۴۰۰/۲/۱ دریافت: ۹۹/۱۱/۱۶

نوع مقاله: پژوهشی

### چکیده

سازنده‌های کربنات و سیلیسی-آواری آقچاگیل و آپشرون در یک برش زیرسطحی در ناحیه دشت گرگان مورد مطالعه قرار گرفته است. سازنده آقچاگیل در این ناحیه متشکل از واحدهای ماسه سنگ زیرین و کربناته بالایی است. پتروفاسیس ماسه‌سنگ شامل لیت‌آرنایت، ساب‌لیت آرنایت و لیت‌آرنایت فلدسپات‌دار است. رخساره‌های دانه‌پشتیبان در این سازند غالب بوده و به ویژه رسوبات کربناته دارای مقادیر قابل توجه تخلخل به فرم‌های قالبی، حفره‌ای و فنستراں بوده که بینگر تفاوت آشکار رسوبات این سازند در ایران با کشورهای هم‌جوار از جمله آذربایجان و ترکمنستان است. این ویژگی‌ها، رسوبات سازند آقچاگیل را به عنوان توالی مستعد مخزن مطرح می‌نماید و ضرورت انجام مطالعات جامع زمین‌شناسی و اکتشافی در این ناحیه را تأکید می‌کند. نهشته‌های سازند آپشرون شامل واحد ماسه‌سنگ زیرین و مادستون بالایی و متشکل از ماسه‌سنگ لیت‌آرنایت و ساب‌لیت‌آرنایت، سنگ‌آهک اییدار بایوکلاستیک و مادستون/رسنگ خاکستری تا قهوه‌ای رنگ است. بر اساس جوان‌ترین نانوفسیل‌های یافت شده در سازنده‌های آقچاگیل و آپشرون، سن نسبی این سازندها به ترتیب پلیوسن بالایی-پلئیستوسن پایینی و پلئیستوسن میانی تعیین شده است. الگوی گسترش نانوفسیل‌های آهکی نشان‌دهنده وجود ارتباط بین حوضه خزر جنوبی با دریای سیاه و حوضه مدیترانه در پلئیستوسن پایینی و میانی و عدم ارتباط در انتهای پلیوسن-ابتدا پلئیستوسن است که برای اولین بار در این مطالعه مطرح می‌شود.

**وازگان کلیدی:** آقچاگیل، آپشرون، دشت گرگان، نانوفسیل

### پیش‌گفتار

سنگ منشا و سنگ مخزن در این حوضه شده است. در دوره‌هایی که ارتباط حوضه خزر به دلیل سقوط سطح آب، با دریاهای آزاد محدود می‌شده است، کاهش گردش آب و ایجاد چینه‌بندی در ستون آب منجر به ایجاد شرایط احیایی و تهشیینی رسوبات غنی از مواد آلی شده است (پوپوف و همکاران، ۲۰۰۴؛ عبدالایف، ۲۰۱۰؛ عبدالایف و لئوری، ۲۰۱۶). از جمله سازندهایی که در حوضه خزر به عنوان سنگ‌منشا هیدروکربن مطرح است توالی متشکل از رسوبات رسی و حاوی مقادیر فراوان مواد آلی و پریت است که تحت عنوان رخساره‌های میکوپ<sup>۱</sup> شناخته می‌شود

حوضه خزر با وسعت تقریبی ۳۷۵۰۰ کیلومتر مربع و به عنوان بزرگ‌ترین دریاچه جهان واقع در مرکز اوراسیا یکی از حوضه‌های مهم اکتشاف هیدروکربن در جهان و خاورمیانه است. اکتشاف و استخراج نفت از این حوضه از قرن گذشته در کشور آذربایجان شروع شده است و تاکنون نیز ادامه دارد (آبرامز و نریمانوف، ۱۹۹۷). تاریخچه خاص پیدایش و تکامل حوضه خزر که با فازهای متعدد و متناوب محصور شدن و ارتباط با آبهای آزاد همراه بوده است، منجر به ته نشینی رسوبات و توالی‌های خاص با ویژگی‌های

<sup>۱</sup> Maykopian facies

توسعه مطالعات زمین‌شناسی و اکتشافی در اختیار زمین‌شناسان و شرکت‌های نفتی قرار خواهد داد.

### موقعیت زمین‌شناسی و جغرافیایی

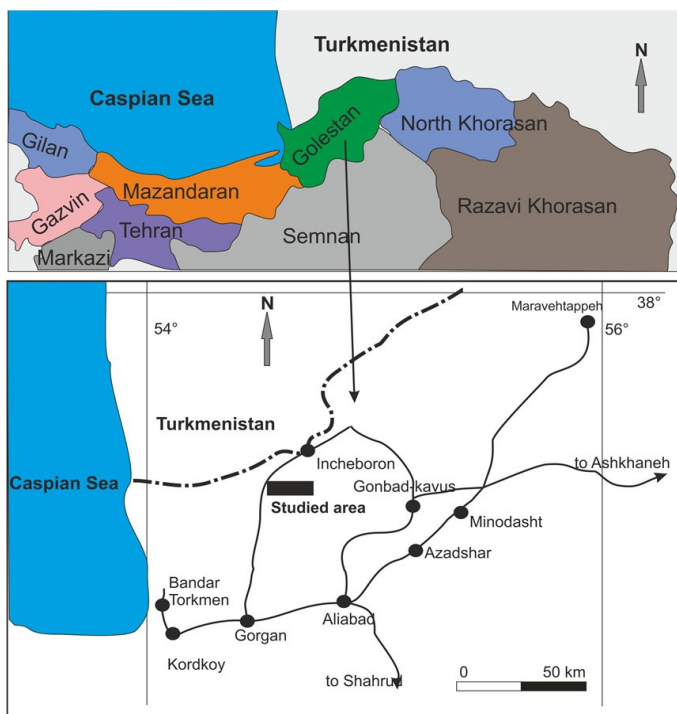
تا زمان ائوسن بجای دریای سیاه، خزر و آرال فعلی، اقیانوس وسیعی به نام تیپس وجود داشته است که در اثر همگرایی و برخورد صفحات آفریقا- عربی و اوراسیا در زمان ائوسن- الیگوسن بسته شده است (برونت و همکاران، ۲۰۰۳). بعد از بسته شدن حوضه تیپس، حوضه پاراتیپس به عنوان باقی‌مانده این حوضه در مرکز اوراسیا شکل گرفته است که حوضه خزر جنوبی و دریای سیاه در بخش خاوری آن توسعه داشته است. به طور کلی ارتباط حوضه خزر جنوبی و حوضه پاراتیپس با دریاهای آزاد از زمان پیدایش این حوضه‌ها به صورت متناوب بوده و دوره‌هایی که این ارتباط قطع و یا محدود شده است، ایجاد چینه‌بندی در ستون آب و گردش آب اندک موجب ایجاد شرایط احیایی و تنشیتی رسوبات حاوی مواد آلی فراوان و تشکیل سنگ منشا هیدروکربن در حوضه شده است. حوضه‌های مدیترانه و پاراتیپس در زمان بحران شوری مسینین (MSC) و به دنبال سقوط شدید سطح آب دریا در پاراتیپس به میزان ۵۰-۱۰ متر از یکدیگر جدا می‌گردد (پوپوف و همکاران، ۲۰۰۶؛ کریzman و همکاران، ۲۰۱۰؛ بالاتو و همکاران، ۲۰۱۱؛ عبدالایف و همکاران، ۲۰۱۰). ناحیه خزر جنوبی که به عنوان بخش باقی‌مانده حوضه پشت قوسی اقیانوس نئوتیپس و بخشی از پاراتیپس خاوری در نظر گرفته می‌شود، در زمان الیگوسن و میوسن پایینی در اثر این وقایع برخوردی و با بالآمدگی سریع رشته کوه‌های قفقاز بزرگ شکل گرفته است (شکل ۱) (آلن و همکاران، ۲۰۰۳؛ آگارد و همکاران، ۲۰۱۱). این حوضه به صورت‌های مختلف از حوضه دریایی محدود تا لبشور و منطبق با افزایش یا کاهش ارتباط با آبهای آزاد، وجود داشته است (برونت و همکاران، ۲۰۰۳؛ پوپوف و همکاران، ۲۰۰۶؛ بالاتو و همکاران، ۲۰۱۱). حداقل نرخ فرونژنی در حوضه خزر جنوبی در زمان پلیوسن اتفاق می‌افتد بطوریکه بیش از ۸۰۰۰ تا ۱۰۰۰۰ متر رسوب در این بازه زمانی در این حوضه تنشیت شده است (وینسنت و همکاران، ۲۰۰۵؛ پوپوف و همکاران، ۲۰۰۶؛ عبدالایف و همکاران، ۲۰۱۰، ۲۰۱۵؛ عبدالایف و لئوری، ۲۰۱۶). عقیده بر این است که با ادامه همگرایی بین صفحات و منطبق با بالا آمدن

(پوپوف و همکاران، ۲۰۰۴). علاوه بر وجود رسوبات سنگمنشا هیدروکربن در حوضه خزر جنوبی، وجود مقادیر قابل توجهی نفت و گاز در سازندهای مخزنی سیلیسی- آواری چلکن (میوسن- پلیوسن) و کربناته- سیلیسی- آواری آپشرون (پلیسیستوسن) نیز به اثبات رسیده است. از این‌رو در کشورهای همجوار از جمله آذربایجان و ترکمنستان مطالعات بسیار گسترده بر روی ویژگی‌های سنگ‌شناسی، ویژگی‌های مخزنی، دیرینه‌شناسی و محیط رسوبی این توالی‌ها صورت گرفته است (برای مثال هیندز و همکاران، ۲۰۰۴؛ وینسنت و همکاران، ۲۰۱۰؛ عبدالایف، ۲۰۱۰؛ عبدالایف و لئوری، ۲۰۱۶). علیرغم اهمیت بسیار زیاد این حوضه و وجود توالی‌های سنگمنشا و سنگ مخزن متعدد اثبات شده در این حوضه به ویژه در کشورهای همجوار از جمله آذربایجان، ترکمنستان و روسیه که برای چند دهه است که به استخراج منابع ارزشمند آن می‌پردازند اما در ایران حتی مطالعات اولیه زمین‌شناسی نیز در این حوضه به صورت پراکنده وجود دارد که از آن جمله می‌توان به به ارنی و یاسینی (ارنی و یاسینی، ۱۹۶۵) و یوسفی (۱۳۹۳) اشاره نمود.

از دلایل مطالعات اندک بر روی رسوبات حوضه خزر جنوبی در ایران می‌توان به وجود پوشش گیاهی وسیع در بخش‌های حاشیه خزر و همچنین اولویت دادن مطالعات اکتشافی به حوضه زاگرس به دلیل رخمنوی مناسب‌تر توالی‌ها و شناخته شده‌تر بودن این زون نسبت به حوضه خزر جنوبی اشاره نمود. شناسایی و ارزیابی رسوب‌شناسی و ریزدیرینه‌شناسی با توجه به دلایل ذکر شده جهت ارزیابی شرایط زمین‌شناسی و توسعه توالی‌ها در بخش ایرانی این حوضه و انطباق آن با توالی‌های معادل در کشورهای همجوار از جمله آذربایجان و ترکمنستان از اهمیت بسیار بالایی برخوردار است. از این‌رو در این مطالعه برای اولین بار به ارزیابی خصوصیات سنگ‌شناسی توالی‌های آقچاگیل و آپشرون و تعیین سن نسبی این سازندها بر مبنای نانوپلانکتون‌های آهکی در ناحیه دشت گرگان پرداخته شده است. اطلاعات و نتایج بدست آمده در این تحقیق از جمله ویژگی‌های مخزنی (تخلخل) رسوبات سازند آقچاگیل و تعیین دوره‌هایی که منطبق با ایزوله شدن شدید حوضه خزر (احتمالاً منطبق با تنشیتی رسوبات غنی از مواد آلی) بوده است، داده‌های ارزشمندی برای

سازندهای آقچاگیل و آپشرون در کشورهای همجاور عمدتاً از نوع مارن/ شیل با میان لایه‌های نازک سنگ‌آهک است (عبدالایف و همکاران، ۲۰۱۵) اما در ایران رسوبات این دو سازند تغییرات مهمی را نشان می‌دهند که اهمیت مطالعه سنگ‌شناسی این توالی‌ها را دوچندان می‌کند که در ادامه به آن پرداخته می‌شود. برش مورد مطالعه در دشت گرگان در عرض‌های جغرافیایی  $51^{\circ} - 53^{\circ}$  و  $36^{\circ} - 39^{\circ}$  شمالی و بین دریای خاوری و کمربند دامنه شمالی البرز در جنوب و جنوب‌خاوری و گمرکنده چین‌خورده کپه‌داغ در سمت خاوری و حوضه ترکمنستان در شمال واقع شده است (شکل ۲). ضخامت سازندهای آقچاگیل و آپشرون در ناحیه مورد مطالعه به ترتیب ۷۳ و ۴۸۸ متر است.

ارتفاعات کپه‌داغ در خاور و البرز، تالش، قفقاز در جنوب و جنوب باختر، حوضه خزر جنوبی در زمان میوسن بالایی و در زمان تهنیتی سری‌های تولیدی از بخش میانی خزر و از افیانوس‌های آزاد جدا می‌گردد (شکل ۱) (پوپوف و همکاران، ۲۰۰۶؛ رضاییان و همکاران، ۲۰۱۱؛ عبدالایف و لئوری، ۲۰۱۶). در حدود سه میلیون سال قبل همزمان با پیشروی دریا و ایجاد ارتباط حوضه خزر با آب‌های آزاد رسوبات کربناته به نام سازند آقچاگیل تهنیتی می‌شوند (گرین و همکاران، ۲۰۰۹؛ گوزیک و همکاران، ۲۰۱۵؛ عبدالایف و همکاران، ۲۰۱۰) و بعد از آن مجدداً با پسروی آب دریا و همزمان با فاز آخرین فاز فشردگی عربی<sup>۱</sup> و از زمان تهنیتی سازند آپشرون دریان، خزر به شکل کنونی ایجاد می‌شود (پوپوف و همکاران، ۲۰۰۶؛ هادسون و همکاران، ۲۰۰۸). رسوبات



شکل ۱. محدوده و موقعیت جغرافیایی برش زیر سطحی مورد مطالعه در ناحیه دشت گرگان

از جمله دانه‌بندی، بافت، ترکیب و اجزای تشکیل‌دهنده و میزان تخلخل نسبی سازندهای آقچاگیل و آپشرون در ناحیه مورد مطالعه، بررسی شده است. تخمین میزان اجزای تشکیل‌دهنده رسوبات (به عنوان مثال برای تعیین پتروفالیسیس ماسه‌سنگ‌ها) و درصد تخلخل با استفاده از جدول‌های مقایسه‌ای موجود صورت گرفته است (تری و

#### روش مطالعه

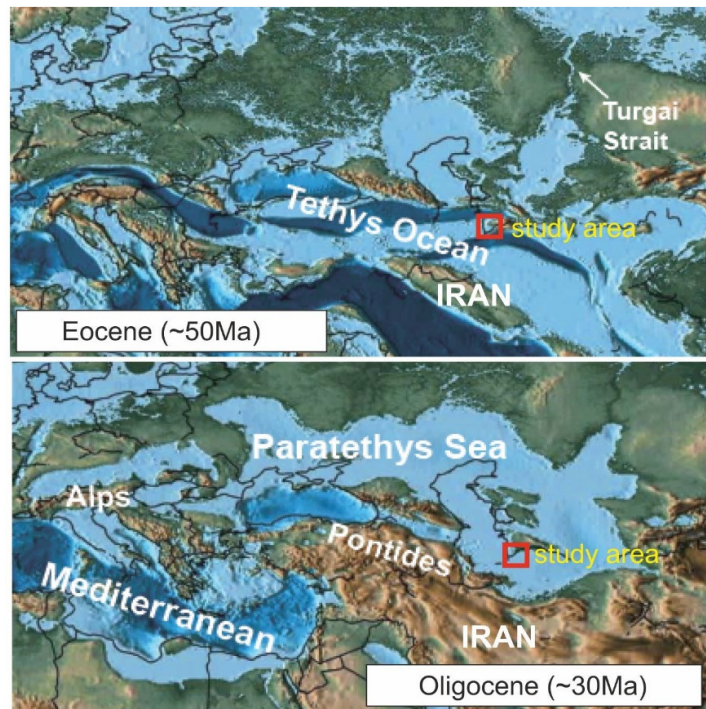
مطالعه رسوب‌شناسی سازندهای آقچاگیل و آپشرون بر روی خردۀای حفاری<sup>۱</sup> و با استفاده از شستشوی نمونه‌ها بر روی یک سری ۶ عددی الک و با روش مطالعه پتروگرافی استاندارد صورت گرفته است. تعداد ۲۰ برش‌نازک و ۶۵ نمونه خردۀ حفاری جهت ارزیابی خصوصیات سنگ‌شناسی

<sup>1</sup> cutting

<sup>2</sup> Late Arabian compression

باعث اتحال و یا رشد ثانویه کلسیت در نانوفسیل‌های آهکی می‌شود و تشخیص آن‌ها را با مشکل مواجه می‌کند. با توجه به ظرفت نانوفسیل‌ها، توجه به این نکته در مطالعات از اهمیت زیادی برخوردار است. در این مطالعه لیتوولوژی کنگلومرا، سنگ‌آهک و ماسه‌سنگ، فراوانی نانوفسیل‌ها را تحت تاثیر قرار داده است، از این‌رو تنها نمونه‌های مارن/شیل، رس‌سنگ و سنگ‌آهک جهت مطالعه نانوفسیل‌ها مورد استفاده قرار گرفته است. بر اساس روث (۱۹۸۳)، میزان حفظ‌شدگی نانوفسیل‌ها در سازند آقچاگیل متوسط و در سازند آپشرون ضعیف است.

چیلینگار، ۱۹۵۵). ماسه‌سنگ‌ها بر اساس طبقه‌بندی فولک (۱۹۸۰) نام‌گذاری شده‌اند. نمونه‌ها برای مطالعات بیوستراتیگرافی نانوفسیل‌های آهکی، به روش اسمیر<sup>۲</sup> (باون، ۱۹۹۸؛ یانگ، ۱۹۹۸) آماده‌سازی شده و اسلامیدها با میکروسکپ نوری Nikon LV100 Pol و بزرگنمایی ۱۰۰۰ برابر در آزمایشگاه چینه‌شناسی پژوهشگاه صنعت نفت مورد مطالعه قرار گرفت. فراوانی و اجتماع نانوفسیل‌های آهکی ممکن است تحت تاثیر لیتوولوژی، اتحال و دیاژنز قرار گیرد و سبب کاهش گونه‌های ظریف و افزایش انواع مقاوم در برابر اتحال شود. هم‌چنین دیاژنز



شکل ۲. نقشه جغرافیای دیرینه حوضه تیس در بازه زمانی اونسن تا الیگوسن و تاریخچه تشکیل حوضه‌های پاراتئس و خزر جنوبی در بخش خاوری آن و حوضه مدیترانه به عنوان باقی‌ماندهای حوضه تیس (اقتباس از Scotese et al. 2016).

مانعی برای مشاهده نمونه‌های برجا که ظریف و شکننده هستند، می‌باشند. در این حالت می‌بایست هر اسلامید با دقیق بالایی مطالعه شود تا حتی المقدور نمونه‌های ظریف که جدیدتر و نشان‌دهنده سن واقعی لایه رسوبی هستند و در سنگ‌های آواری معمولاً با فراوانی بسیار پایین دیده می‌شوند، شناسایی شوند. مطالعات تاکسونومی نانوفسیل‌ها، بر اساس شیوه‌های ارایه شده توسط مارتینی (۱۹۷۱)، پرک-نیلسن (۱۹۸۵) و باون (۱۹۹۸) صورت گرفته است.

نانوفسیل‌های آهکی از نظر فراوانی به سه رده کمیاب (۱ گونه در بیشتر از ۵۰ میدان دید) و اندک (۱ گونه در ۲ تا ۵ میدان دید) تقسیم می‌شوند. به دلیل تعداد بالای گونه‌های حمل شده نابرجا و به منظور مشاهده گونه‌های ظریف برجا (باون، ۲۰۱۶)، هر اسلامید به دقیق مطالعه قرار گرفته است. در نمونه‌های آواری تعداد بالای نمونه‌های نانوفسیلی (با توجه به احتمال بالای وجود نمونه‌های حمل شده در نمونه، لزوماً سن لایه را مشخص نمی‌کند (برای مثال باون، ۲۰۱۶). نمونه‌های فسیلی حمل شده همچنین

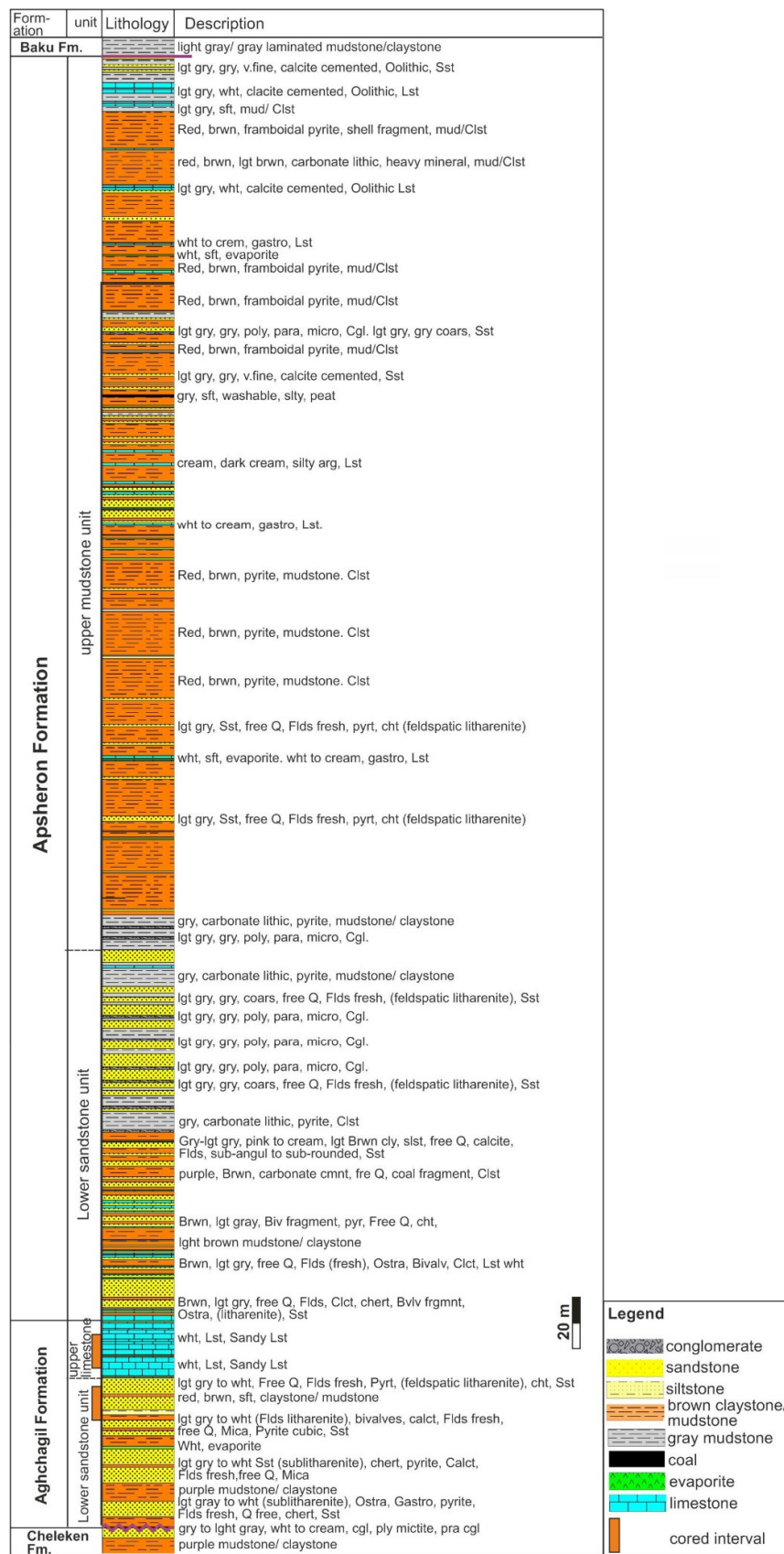
<sup>۲</sup> Smear Slide technique

شده عمدتاً متشکل از شیل و مارن است (عبدالایف و همکاران، ۲۰۱۰، ۲۰۱۵). چنین ویژگی‌هایی این سازند را به عنوان یک توالی مستعد سنگ مخزن مطرح می‌نماید و از اینرو ضرورت انجام مطالعات ناحیه‌ای زمین‌شناسی و اکتشافی بر روی این توالی را نشان می‌دهد.

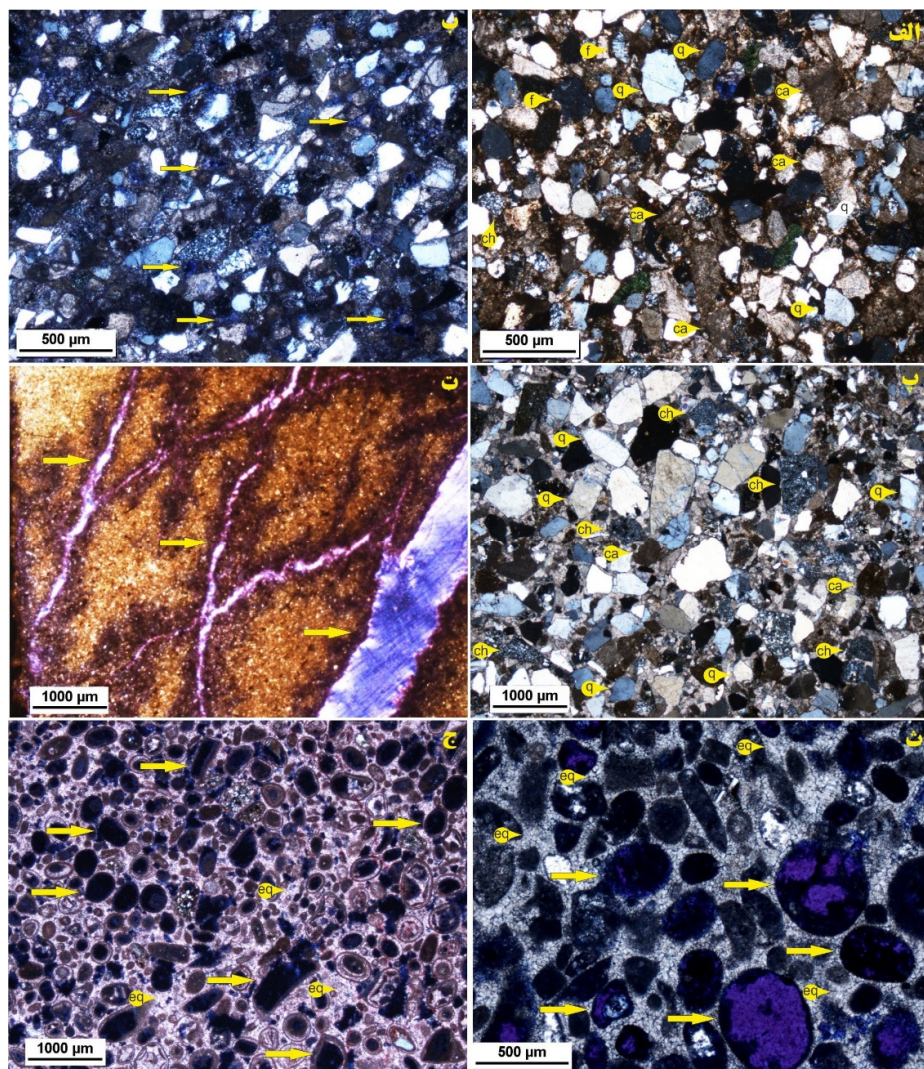
سازند آپشرون در ناحیه مورد مطالعه با ضخامت ۴۸۸ متر بر روی سازند آقچاگیل قرار گرفته و توسط رسوبات سازند باکو پوشیده می‌شود (شکل ۳). مرز بالایی سازند آپشرون با سازند باکو با ظهور یک افق ماسه‌سنگ اییدی مشخص می‌شود. سازند آپشرون در ناحیه مورد مطالعه غالباً شامل مادستون/مارن یا رسنگ با میان لایه‌های ماسه‌سنگ و سنگ‌آهک است. این سازند نیز به دو واحد ماسه‌سنگ زیرین به ضخامت ۱۴۵ متر و مادستون بالایی به ضخامت ۳۴۳ متر تقسیم می‌شود (شکل ۳). این سازند در ناحیه مورد مطالعه با ماسه‌سنگ خاکستری تا قهوه‌ای متشکل از دانه‌های چرت و خرده‌های پراکنده استراکود شروع می‌شود و با تنابوت ماسه‌سنگ دانه‌ریز تا متوسط خاکستری روشن و مادستون/رسنگ سبز زیتونی-ارغوانی و میان لایه‌های سنگ‌آهک سفید تا خاکستری ادامه می‌پاید (تا حدود ۷۰ متری از ابتدای سازند). در ادامه، توالی شامل تنابوت میکروکنگلومرا، ماسه‌سنگ دانه متوسط تا درشت خاکستری و مادستون/رسنگ خاکستری با میان لایه‌های پراکنده از سنگ‌آهک نازک لایه است (حدود ۷۰ تا ۱۵۰ متر) (شکل ۳). پتروفاسیس ماسه‌سنگ‌ها در این بخش از نوع لیت‌آرنایت تا لیت‌آرنایت فلسفیت‌دار و متشکل از خرده‌های کربناته، چرت، فلدسپات، کوارتز تکبلورین تا چندبلورین، پیریت، خرده‌های دوکفه‌ای، ایید و استراکود است. دانه‌های آواری دارای جورشدگی متوسط و از نیمه گرد شده تا زاویه‌دار در تغییر هستند. رسوبات کنگلومرا ای و اییدی و رسوبات تبخیری نازک لایه وجود دارد. در بخش بالایی سازند نیز رسوبات دانه‌ریز مادستون یا مارن غالب هستند اگر چه بر میزان میان لایه‌های ماسه‌سنگ و سنگ‌آهک افزوده شده و یک لایه نازک پیت نیز در این بخش شناسایی شده است (شکل ۳).

## نتایج و بحث سنگ‌شناسی

سازند آقچاگیل در برش زیرسطحی مورد مطالعه با ضخامت ۷۳ متر در بالای سازند چلکن و در زیر سازند آپشرون قرار می‌گیرد (شکل ۳). مرز زیرین سازند آقچاگیل با سازند چلکن با ظهور یک رخساره کنگلومرا ای که نشان‌دهنده ناپیوستگی فرسایشی است مشخص می‌شود و مرز بالای آن با سازند آپشرون با یک افق آهکی متراکم و سفید مشخص می‌شود (شکل ۳). سازند آقچاگیل در ناحیه مورد مطالعه به طور کلی متشکل از سنگ‌آهک، ماسه‌سنگ و میان لایه‌های مادستون قهوه‌ای- خاکستری است. این سازند در برش مورد مطالعه به دو واحد ماسه‌سنگ زیرین به ضخامت ۵۵ متر و سنگ‌آهک بالایی به ضخامت ۱۸ متر تقسیم می‌شود. این سازند با یک کنگلومرای خاکستری تا خاکستری روشن و ماسه‌سنگ چرتی خاکستری تا سبز شروع می‌شود که در ادامه توسط مادستون/رسنگ سبز زیتونی تا قهوه‌ای و ماسه‌سنگ دانه‌ریز سفید تا خاکستری روشن متشکل از دانه‌های فلدسپار، کوارتز تکبلورین، میکا، خرده‌های مادستون و دوکفه‌ای جانشین می‌شود. جورشدگی ماسه‌سنگ‌ها متوسط تا ضعیف و دانه‌ها از نیمه‌زاویه‌دار تا گرد شده در تغییر است. پتروفاسیس ماسه‌سنگ‌ها شامل لیت‌آرنایت تا ساب‌لیت‌آرنایت و لیت‌آرنایت فلدسپات‌دار است (شکل ۴ الف-پ). میان لایه‌های پراکنده از رسوبات تبخیری در این بخش وجود دارد. واحد کربناته بالایی متشکل از سنگ‌آهک بایوکلاستیک و اییدی (ماسه‌ای) با میان لایه‌های مارن خاکستری فسیل‌دار ماسه‌ای (شامل دوکفه‌ای، گاستروپود و استراکود) است (شکل‌های ۴ و ۵). مطالعات پتروگرافی نشان‌دهنده وجود مقادیر قابل توجه تخلخل (تا ۵۵ درصد) به ویژه در رسوبات کربناته و به میزان کمتر در رسوبات مادستون به فرم‌های حفره‌ای، قالبی، فنسنرال و شکستگی است (شکل‌های ۴ و ۵). ویژگی‌های سنگ‌شناسی ذکر شده در سازند آقچاگیل در ناحیه دشت گرگان که نشان‌دهنده فراوانی رخساره‌های دانه‌پشتیبان (آواری و کربناته) و توسعه قابل توجه تخلخل در این سازند است، تفاوت آشکار ویژگی‌های سنگ‌شناسی و رسوب‌شناسی این سازند در بخش ایرانی حوضه خزر با معادل‌های آن در نواحی آذربایجان و ترکمنستان را مشخص می‌کند. بطوریکه سازند آقچاگیل در نواحی ذکر



شکل ۲. ستون چینه‌شناسی و سنگ‌شناسی سازندهای آقچاگیل و آپشرون در برش زیرسطحی در ناحیه دشت گرگان



شکل ۴. تصاویر میکروسکوپی از رخساره‌های سازند آقچاگیل در ناحیه مورد مطالعه. (الف) پتروفاسیس لیت‌آرنایت که غالباً از دانه‌های کربناته (ca) و به میزان کمتر کوارتزهای تک‌بلورین (q)، چرت (ch) و فلسپات (f) تشکیل شده است (عمق ۱۴۳۰ متر)، ب) تخلخل حفره‌های (فلش) در پتروفاسیس لیت‌آرنایت، با توجه به شکل بدیری دانه‌های کربناته در فرایند فشردگی تخلخل اولیه حفظ نشده است (عمق ۱۴۳۳ متر)، پ) پتروفاسیس سابلیت‌آرنایت یا جورشدگی ضعیف و دانه‌های عمدتاً نیمه‌گرد شده تا زاویدار متتشکل از کوارتز تک بلورین (q)، چرت (ch)، دانه‌های کربناته (ca) در یک زمینه سیمان کلسیتی (عمق ۱۴۴۰ متر)، ت) رخساره مادستون با تخلخل فراوان حاصل از شکستگی (عمق ۱۴۲۵ متر)، ث و ج) رخساره گرینستون‌ایید و پلویدار با مقادیر قابل ملاحظه تخلخل قالبی (فلش) و زمینه سیمان کلسیتی هم‌بعد (eq=equant) (عمق ۱۴۱۸ متر).

استفاده می‌شود (پرنیان و همکاران، ۱۴۰۰). در مورد حوضه خزر استفاده از استراکود متداول‌تر بوده است (برای مثال یاسینی، ۱۹۸۶؛ بومر و همکاران، ۱۹۹۶، ۲۰۰۵). از آنجایی که گونه‌های مختلف استراکود در محیط‌های مختلف دریایی با شوری آب متفاوت، آبهای لب‌شور و دریاچه‌ای یافت می‌شوند و با توجه به تاریخچه نیمه دریایی-دریاچه‌ای حوضه خزر، استفاده از

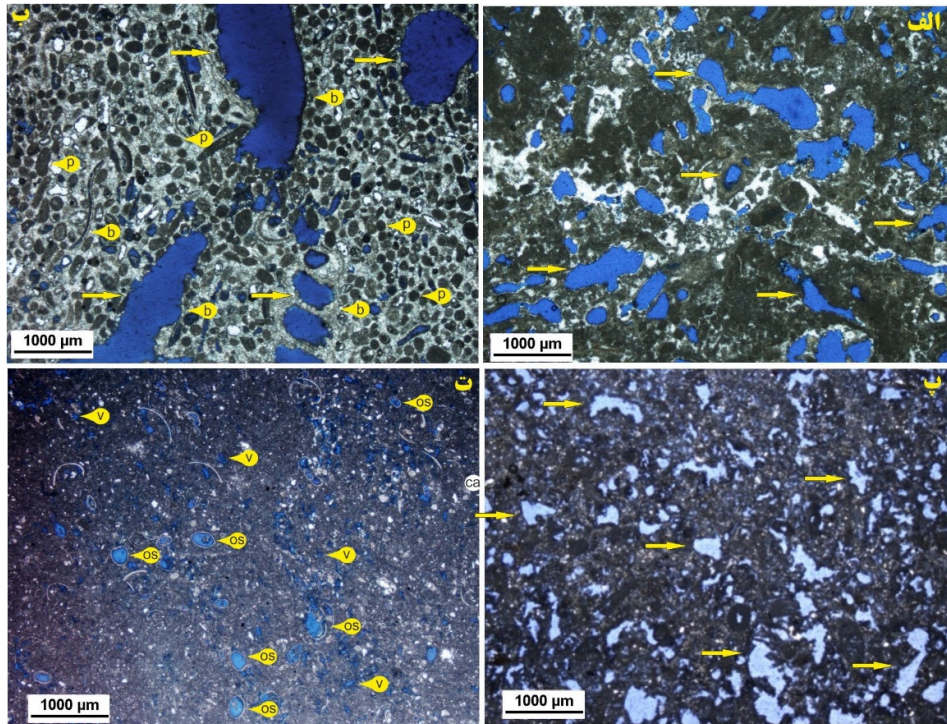
#### ریزدیرینه‌شناسی

نانوفسیل‌های آهکی، یکی از قدرتمندترین ابزار بیوستراتیگرافی و تعیین سن لایه‌های رسوبی کربناته دریایی به خصوص در اقیانوس‌های باز<sup>۱</sup> به حساب می‌آیند (آگینی و همکاران، ۲۰۱۷). در محیط‌های آواری و سیستم‌های رسوبی نیمه‌باز معمولاً از گروه‌های فسیلی دیگر مانند روزن‌داران پلانکتون، پالینومورف و استراکود

<sup>۱</sup> open ocean setting

همچنین می‌تواند به برقراری شرایط نیمه‌دریایی، ارتباط نسبی با آب‌های آزاد و ایجاد شرایط اکولوژیکی مناسب‌تر (مانند گردش آب) برای توسعه و گسترش این مجموعه فسیلی مرتبط باشد. مطالعات نانوفسیل‌های آهکی در رسوبات آواری سنوزوییک در برخی نقاط دنیا برای تعیین سن مفید بوده است (برای مثال مایک و همکاران، ۲۰۰۸) و در مطالعه حاضر برای اولین بار در حوضه خزر جنوبی انجام شده است. بر خلاف رسوبات کربناته دریاهای باز، در این رسوبات تعیین سن براساس بازه سنی هر یک از گونه‌های نانوفسیلی به تنها یک صورت می‌گیرد. تعیین سن نسبی سازند آقچاگیل و قسمت زیرین سازند آپشرون که عمدتاً متشکل از رسوبات آواری هستند، بر اساس بازه سنی جوان ترین گونه‌های نانوفسیلی صورت می‌گیرد و زون‌های نانوفسیلی نیز بر همین اساس و نه بر پایه بیوزون‌های استاندارد، تعیین می‌شود (برای مثال مایک و همکاران، ۲۰۰۸).

استراکودها بهترین گزینه است. اگر چه مطالعه گروه فسیلی استراکود نیز در این حوضه با مشکلاتی همراه است (شورینکو، ۲۰۱۱)، از جمله این مشکلات می‌توان به منشا متفاوت گونه‌های استراکود، پلیمورف‌های متعدد یا درجات مختلف از رشد یک گونه، اشاره کرد که ابهاماتی در شناسایی دقیق استراکود را به همراه دارد. رسوبات مطالعه شده به ویژه در سازند آپشرون به دلیل میزان بالای رسوبات تخریبی و عدم حفظشدنگی گونه‌های برجا، دارای فسیل‌های بازنیشته شده کرتاسه با فراوانی بالا است، بطوریکه در برخی گروه‌های فسیلی مانند روزن‌داران پلانکتون و استراکود، فقط اجزای فسیلی بازنیشته شده یافت می‌شوند. اما در سازند آقچاگیل میزان نمونه‌های برجا بالاتر بوده و درجه حفظشدنگی نانوفسیل‌ها نیز به مراتب بهتر است. نانوفسیل‌ها بهترین حفظشدنگی را به ترتیب در مارن‌ها، مارن‌های آهکی، شیل‌ها و نمونه‌های سیلیتی دارند و بعد از آن سنگ‌های کربناته و در آخر ماسه‌سنگ‌ها قرار می‌گیرند. این موضوع

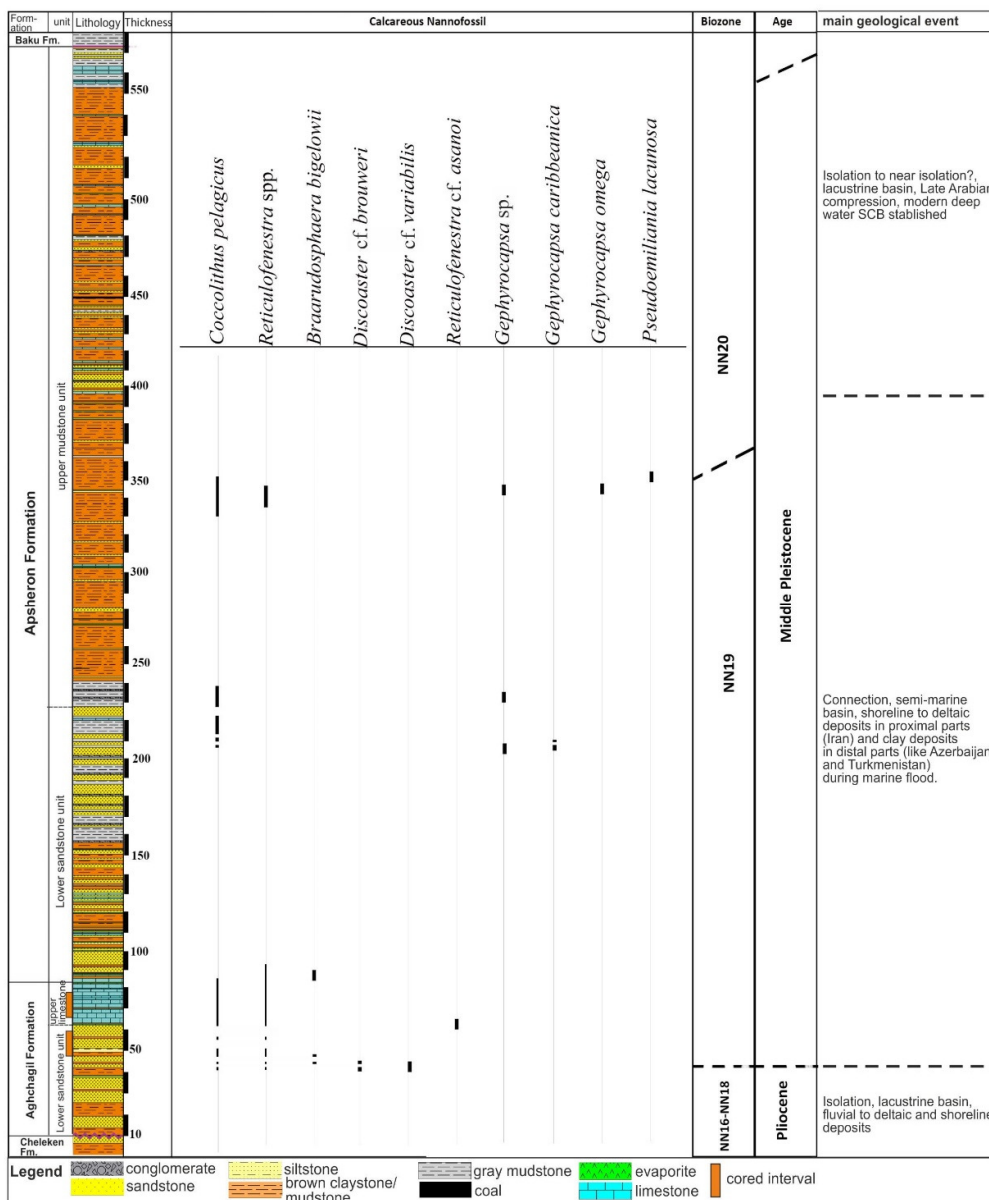


شکل ۵. تصاویر میکروسکوپی از رخدارهای سازند آقچاگیل در ناحیه مورد مطالعه. (الف) رخداره مادستون حاوی تخلخل فنستران (فلش) (عمق ۱۴۲۴ متر)، (ب) رخداره گرینستون بایوکلاست پلوییدار با تخلخل‌های عمدتاً قالبی (فلش) ناشی از انحلال خرددهای بایوکلاست (b) و پلویید (p) (عمق ۱۴۱۹ متر)، (پ) تخلخل فراوان به فرم حفره‌ای (فلش) در رخداره مادستون-وکستون پلوییدار (عمق ۱۴۲۴/۵ متر)، (ت) رخداره مادستون-وکستون استراکودهای قابل توجه تخلخل قالبی در درون استراکودهای (OS) و به میزان کمتر تخلخل حفره‌ای (V) (عمق ۱۴۲۲ متر).

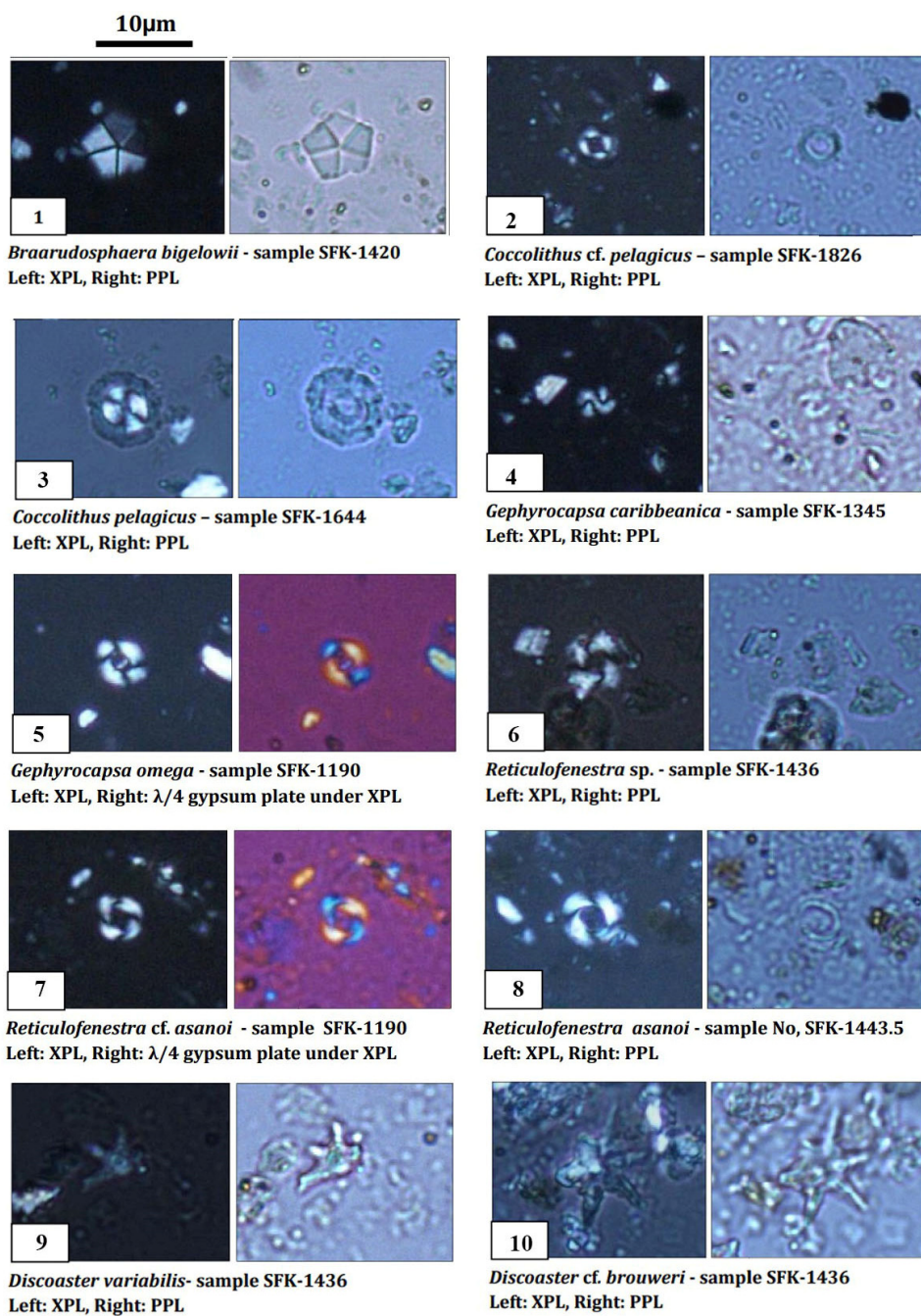
این گونه‌ها برای آخرین بار در این بخش دیده شده و بنابراین مرز بالایی زون NN18 منطبق با آخرین حضور جنس Discoaster و پایان پلیوسن (یانگ، ۱۹۹۸؛ یانگ و همکاران، ۲۰۱۷) در این ضخامت قرار داده شده است. از دیگر گونه‌های نانوفسیلی بلند بازه که در این بخش دیده شده‌اند می‌توان به *Reticulofenestra spp.*, *Braarudosphaera* و *Reticulofenestra minuta bigelowii* اشاره کرد (شکل‌های ۶ و ۷).

### زون نانوفسیلی NN16 – (?)

در انتهای سازند چلکن و ابتدای سازند آقچاگیل تنها گونه‌های نانوفسیلی نابرجا مشاهده شده است که بیانگ تنه‌شیئی رسوبات این بخش در یک سیستم غیردریایی (دریاچه‌ای و دلتایی) است (پوپوف و همکاران، ۲۰۰۴؛ عبدالایف و همکاران، ۲۰۱۵؛ عبدالایف و لوری، ۲۰۱۶). در ضخامت ۳۰ متری از سازند آقچاگیل گونه‌های *Discoaster* و *Discoaster varriabilis* نانوفسیلی مشاهده می‌شود (شکل‌های ۶ و ۷).



شکل ۶. ستون چینه‌شناسی و فراوانی نانوفسیل‌های شناسایی شده در برش مورد مطالعه واقع در دشت گرگان (وقایع تکتونیکی و تفسیر شوابط محیطی / ارتباط بین حوضه‌ها از پوپوف و همکاران، ۲۰۰۶ و این مطالعه).



شکل ۷. تصاویر نانوفسیل‌های آهکی شناسایی شده در توالی مورد مطالعه در ناحیه دشت گرگان

است (یانگ، ۱۹۹۸). اسفنولیت‌ها و دیسکواسترها در مرز پلیوسن – پلئیستوسن از بین می‌روند (برای مثال پرج-نلسن، ۱۹۸۵؛ یانگ، ۱۹۹۸) و گروه Gephyrocapsids از مهم‌ترین عناصر تشکیل‌دهنده نانوپلانکتون‌های آهکی در طول دوره پلئیستوسن در اقیانوس‌های باز و دریاهای نرتیک هستند. این گروه به دلیل فراوانی بالا، گسترش جغرافیایی وسیع و تکامل سریع برای تعیین سن لایه‌های

**زن نانوفسیلی NN19:** آخرین حضور جنس Discoaster در ضخامت ۳۰ متری سازند آقچاگیل، مرز زیرین زون نانوفسیلی NN19 است (شکل ۶). در ضخامت حدود ۵۰ متری از سازند آقچاگیل در برش مورد مطالعه گونه Discoaster cf. asanoi مشاهده شده است (شکل‌های ۶ و ۷) که ظهور این گونه در زون NN19 و بازه زمانی پلئیستوسن میانی ثبت شده

میکروسکوپ الکترونی صورت می‌گیرد، از اینرو تفکیک دو زون ذکر شده در این مطالعه انجام نشده است. همانگونه که اشاره شد به دلیل منشا عمدتاً آواری رسوبات مطالعه شده در این برش، زون‌های نانوفسیلی مطرح شده در این مطالعه مطابق با تعریف بیوزوناسیون استاندارد برای نانوفسیل‌های آهکی نیست و رسوبات نسبت داده شده به این زون‌ها در برگیرنده بخشی از آن زون است. این موضوع می‌تواند به دلیل عدم وجود رسوبات دریایی و یا عدم وجود و یا حفظشدنگی شواهد نانوفسیلی مناسب، به دلیل شرایط خاص اکولوژی دیرینه رسوبات مورد مطالعه (مانند گردش آنکه آب و ارتباط موقتی و دوره‌ای با آبهای آزاد، رخ بالای تامین رسوبات آواری، جریان‌های قوی در موقعیت نزدیک به ساحل) باشد. مطالعات گروههای فسیلی از جمله نانوفسیل‌های آهکی و تعیین سن نسبی توالی‌های رسوبی آواری بر مبنای آن‌ها به دلیل نبود این گروه فسیلی در رسوبات آواری غیردریایی و یا فراوانی آن‌ها در سیستم‌های دریایی آواری، چندان مرسوم نیست. اما نتایج این مطالعه نشان می‌دهد که حتی ارتباط دریایی آنکه دوره‌ای با آبهای آزاد می‌تواند منجر به توسعه و حفظ نانوفسیل‌های آهکی در رسوبات آواری نیمه‌دریایی<sup>۱</sup> گردد و از این‌رو در شرایطی که تعیین سن توالی‌های رسوبی بر اساس سایر گروههای فسیلی ممکن نیست و یا زون‌بندی یک سن کلی با بازه زمانی طولانی را ارایه می‌دهند، به خوبی می‌توان از نانوفسیل‌ها برای تعیین سن چنین توالی‌های رسوبی استفاده نمود. اگرچه، چنین مطالعاتی به مراتب دشوارتر از مطالعات معمول و روتین بر روی نهشت‌های آهکی تئوشین شده در سیستم‌های دریایی خواهد بود.

#### جغرافیای دیرینه

بررسی تاریخچه تکامل حوضه خزر جنوبی که به عنوان بخش خاوری حوضه پاراتیس در انسن-الیگوسن شکل گرفته است نشان‌دهنده دوره‌های متعدد محصور و ایزوله شدن و تبدیل به یک حوضه دریاچه‌ای و توسعه یک حوضه نیمه‌دریایی در زمان ارتباط نسبی با آبهای آزاد می‌باشد. ارتباط و یا عدم ارتباط حوضه خزر که تحت تاثیر تغییرات جهانی سطح آب دریا مانند بحران مسینین و بالاً‌آمدگی ارتفاعات محصور کننده آن (مانند البرز و

رسوبی پلیستوسن استفاده می‌شود (پرج-نلسن، ۱۹۸۵؛ یلنگ، ۱۹۹۸). اگرچه اولین ظهور جنس *Gephyrocapsa* در برخی از نقاط جهان از پلیوسن میانی نیز گزارش شده است (سامتلین، ۱۹۸۰) اما این گروه با عنوان غیررسمی Small *Gephyrocapsa* با طول کمتر از ۳ میکرون مشخص شده‌اند که اصولاً با میکروسکوپ‌های نوری قابل تشخیص نیستند (یلنگ، ۱۹۹۸). بنابراین مشاهده گونه‌های بزرگ‌تر از جنس *Gephyrocapsa* دلیلی برای عبور از مرز پلیوسن - پلیستوسن، تلقی می‌گردد (پرج-نلسن، ۱۹۸۵). اولین گونه از جنس *Gephyrocapsa* که در ضخامت ۱۱۲ متری سازند آپشرون ثبت شده است، گونه *Gephyrocapsa caribbeanica* است که موید توسعه زون NN19 و بازه زمانی پلیستوسن میانی است (شکل‌های ۶ و ۷) (بومان و فریتگ، ۲۰۰۴). بر این اساس به نظر می‌رسد که شواهد نانوفسیلی مبنی بر وجود پلیستوسن آغازی در ابتدای سازند آپشرون وجود ندارد. این امر می‌تواند به دلیل عدم وجود رسوبات دریایی در بخش زیرین سازند آپشرون تفسیر گردد. تا ضخامت ۲۶۲ متری از سازند آپشرون گونه‌های متعددی از *Gephyrocapsa* و همچنین *Gephyrocapsa spp.* که موید زون NN19 و بازه زمانی پلیستوسن میانی است (مایرورانو و مارینو، ۲۰۰۴)، مشاهده شده است. گونه‌های نانوفسیلی بلند بازه همراه در این بخش شامل *Reticulofenestra spp.* و *Coccolithus pelagicus* است (شکل‌های ۶ و ۷).

#### زون نانوفسیلی NN20

در ضخامت ۲۶۲ متری سازند آپشرون آخرین گونه نانوفسیلی مشاهده شده در برش مورد مطالعه، گونه *Pseudoemiliania lacunosa* است که یکی از شاخصه‌های زونی است که تا انتهای زون نانوفسیلی NN19 ثبت گردیده است (یلنگ، ۱۹۹۸). بخش باقی‌مانده سازند آپشرون تا شروع سازند باکو در برش مورد مطالعه به عنوان زون NN20 در نظر گرفته شده است (شکل ۷). با توجه به اینکه شناسایی گونه شاخص نانوفسیلی *Emiliana huxleyi* که مبنای تفکیک زون‌های 20 و NN21 در رسوبات اقیانوس‌های باز یا دریاهای نریتیک است، با میکروسکوپ نوری امکان‌پذیر نبوده و تنها با

<sup>1</sup> semi-marine

این است که این گروه فسیلی کمکی به تعیین سن لایه‌ها در این بازه زمانی نمی‌کرده‌اند (کریژمان و همکاران، ۲۰۲۰). مطالعه حاضر که برای اولین بار در حوضه خزر جنوبی صورت گرفته است، از این جهت اهمیت ویژه‌ای دارد که اصولاً نمونه‌های رسوبات آواری برای مطالعات نانوفسیل‌های آهکی مناسب تلقی نشده و با این پیش فرض، آماده‌سازی و مطالعه نمی‌شود. در این شرایط، در صورت وجود نانوفسیل‌ها در توالی‌های رسوبی آواری که در این مطالعه اهمیت آن‌ها اثبات و مستدل شده است، هیچگاه به نتایج بلقوه استفاده از این گروه فسیلی مثلاً برای بازسازی جغرافیای دیرینه و یا انطباق ناحیه‌ای توالی‌های رسوبی که از مطالعه این گروه فسیلی ممکن است به دست می‌آید، دسترسی حاصل نمی‌شود. در مطالعه انجام شده با ثبت نانوفسیل‌های دریایی مربوط به ابتدای پلئیستوسن، اولین حضور گونه *Reticulofenestra* *Discoaster cf. asanoi* را پس از آخرین حضور گونه‌های *Discoaster varriabilis* و *brouweri* نشانه‌ای از ارتباط دریایی خزر با دریاهای باز در این برهه از زمان، ارایه می‌نماید. مطالعات صورت گرفته بر مبنای ایزوتوپ استرانسیم در حوضه خزر نشان‌دهنده یک افزایش ناگهانی در مقادیر این ایزوتوپ در حدود ۲/۷ میلیون سال پیش است که این افزایش به تامین اضافی ایزوتوپ رادیویزیک استرانسیم توسط اقیانوس‌های آزاد و دلیلی بر وجود ارتباط حوضه‌های خزر و دریای سیاه با آبهای آزاد تفسیر شده است (ون‌باک و همکاران، ۲۰۱۹). همچنین بررسی میزان ایزوتوپ‌های اکسیژن در حوضه دریای سیاه نشان‌دهنده تغییر قابل توجه در میزان این ایزوتوپ (ثبت مقادیر سبک‌تر) در این بازه زمانی است و این شواهد به عنوان دلیلی برای ارتباط بین حوضه دریای سیاه و مدیترانه و همچنین ورود جریان‌های اضافی از دریای خزر به درون دریای سیاه حداقل در شش بازه زمانی کوتاه مدت در پلئیستوسن میانی تفسیر شده است (بدرسچر و همکاران، ۲۰۱۱). بطوريکه کاهش مشهود ایزوتوپ اکسیژن در دریای سیاه در این زمان، موید ورود آب شیرین دریای خزر به داخل دریای سیاه و از طریق باریکه قفقاز میانی و یا تنگه ارس<sup>۲</sup> است (پوپوف و همکاران، ۲۰۰۴؛ عبدالایف، ۲۰۱۰). در این مطالعه ثبت گونه‌های نانوفسیلی *Gephyrocapsa spp.* *Gephyrocapsa*

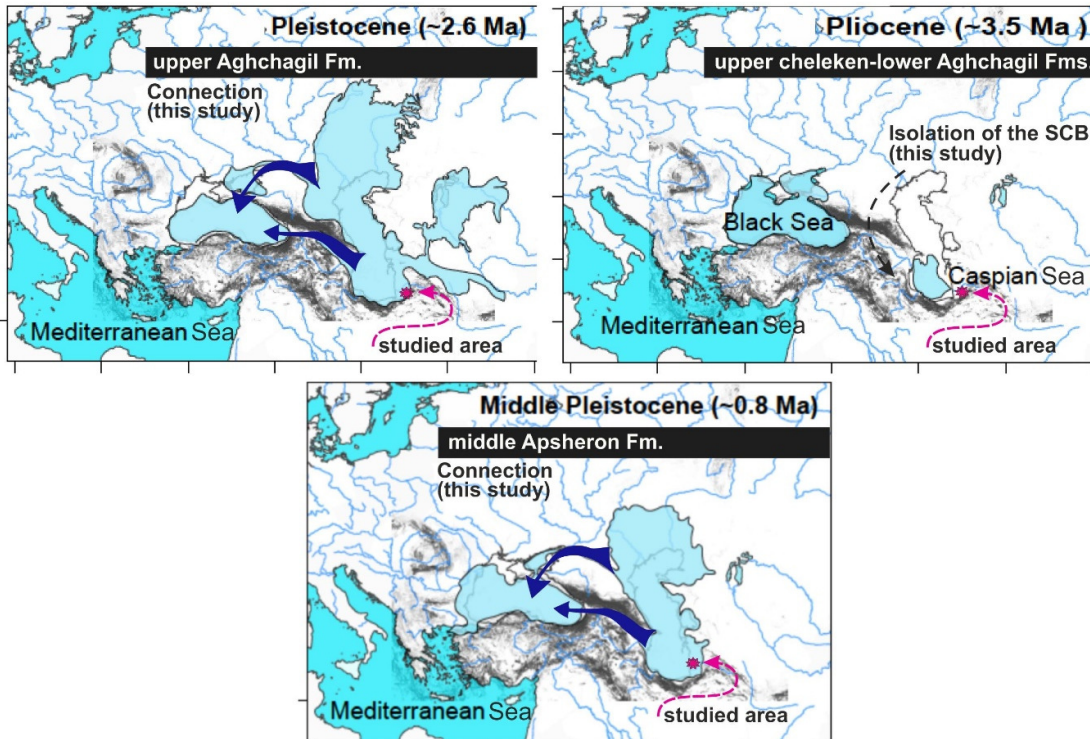
قفقاز در جنوب و جنوب‌باختری و کپه داغ در خاور) در اثر حرکت همگرای صفحات آفریقا-عربی و اوراسیا بوده است، منجر به ایجاد شرایط خاص اکولوژیکی و تهشیبی رسوبات ویژه شده است (آل و همکاران، ۲۰۰۳؛ برونوت و همکاران، ۲۰۰۳؛ پوپوف و همکاران، ۲۰۰۴؛ عبدالایف، ۲۰۱۰؛ عبدالایف و لئوری، ۲۰۱۶). بطوريکه دوره‌های قطع ارتباط با آبهای آزاد مانند انتهای میوسن و پلیوسن منجر به کاهش شدید گردش آب در این حوضه و تهشیبی رسوبات غی از مواد آلی و مستعد سنگمنشا شده است (هیندز و همکاران، ۲۰۰۴؛ وینسنت و همکاران، ۲۰۱۰؛ عبدالایف، ۲۰۱۰). در دوره‌های افزایش ارتباط با آبهای آزاد که منطبق با بالا آمدن جهانی سطح آب دریا بوده است یک حوضه نیمه‌دریایی در این بخش از حوضه پاراتیس شکل گرفته است (پوپوف و همکاران، ۲۰۰۴؛ عبدالایف، ۲۰۱۰). بازسازی جغرافیای دیرینه در این حوضه نیازمند وجود اطلاعات رسوب‌شناسی و دیرینه‌شناسی دقیق و جامع از بخش‌های مختلف آن است، بطوريکه این اطلاعات جهت مطالعات تاریخچه رسوبی- تکتونیکی و ارزیابی‌های صنعتی مانند اکتشاف هیدروکربن مورد استفاده قرار می‌گیرند.

بر اساس یافته‌های نانوفسیلی متعلق به زمان پلئیستوسن آغازی در میانه سازند آقچاگیل (ضخامت ۳۰ متری از ابتدای سازند) و زمان پلئیستوسن میانی دربرگیرنده بخش میانی سازند آپشرون (ضخامت ۱۱۲ متری) و از آنجایی که محیط زیست نانوپلانکتون‌های آهکی محیط‌های دریایی هستند (باون، ۱۹۹۸)، به نظر می‌رسد حوضه رسوبی خزر جنوبی در این بازه‌های زمانی، کاملاً بسته نبوده و با حوضه‌های رسوبی مجاور و دریاهای باز از جمله دریای سیاه و مدیترانه در ارتباط بوده است. نتایج به دست آمده در این مطالعه منطبق با داده‌های بدست آمده از سایر نقاط حوضه پاراتیس است که بیانگر ارتباط بین دریای سیاه و خزر در ابتدای پلئیستوسن و پلئیستوسن میانی است (شکل ۸) (برای مثال پوپوف و همکاران، ۲۰۰۶؛ ون‌باک و همکاران، ۲۰۱۷). مطالعات بسیار کمی بر روی نانوفسیل‌های آهکی نئوژن در حوضه‌های خزر، دریای سیاه و مدیترانه صورت گرفته است. این امر احتمالاً به این دلیل بوده است که با توجه به ترکیب آواری اکثر نهشت‌های در این بازه زمانی، تصور بر

<sup>۲</sup> Araks strait

آچاگیل) و پلئیستوسن آغازی که منطبق با تنه‌شینی رسوبات واحد ماسه‌سنگ زیرین در ابتدای سازند آپشرون است، احتمالاً می‌تواند نشان‌دهنده قطع ارتباط بین حوضه خزر و دریای سیاه و آب‌های آزاد باشد که برای اولین بار در این مطالعه پیشنهاد می‌شود (شکل ۸).

برای اولین بار *Gephyrocapsa asanoi* و *caribbeanica* در بخش ایرانی حوضه خزر جنوبی، بر وجود این ارتباط در این بازه زمانی صحه می‌گذارد. همچنین عدم وجود نانوفسیل‌ها در بازه زمانی انتهای پلیوسن (منطبق با تنه‌شینی بخش ابتدایی واحد ماسه‌سنگ زیرین سازند



شکل ۸. نقشه جغرافیای دیرینه حوضه‌های پاراتیس و مدیترانه که نشان‌دهنده وجود ارتباط بین خاور پاراتیس (شامل حوضه خزر و دریای سیاه) با حوضه مدیترانه در زمان پلئیستوسن پایینی و پلئیستوسن میانی و قطع این ارتباط در زمان پلیوسن است. عدم وجود مجموعه‌های نانوفسیلی و سایر فونای دریایی در بخش انتهای سازند چلنگ و واحد ماسه‌سنگ زیرین سازند آچاگیل در ناحیه مورد مطالعه مovid جداش و عدم ارتباط بین حوضه‌های خزر و دریای سیاه و آب‌های آزاد در بخش عده زمان پلیوسن است. مجدداً در زمان پلئیستوسن از طریق باریکه قفقاز میانی بین قفقاز بزرگ و قفقاز کوچک و شمال قفقاز بزرگ یا تنگه ارس، ارتباط بین حوضه خزر جنوبی و دریای سیاه و حوضه مدیترانه برقرار می‌شود که با وجود مجموعه‌های نانوفسیلی به سن پلئیستوسن پایینی و میانی به ترتیب در واحد سنتگ آهک بالایی سازند آچاگیل و بخش میانی سازند آپشرون تأیید می‌شود (نقشه اولیه اقتباس از بوبوف و همکاران، ۲۰۰۶؛ یانینا، ۲۰۱۲).

تنگه ارس، قفقاز میانی و شمال بلندی‌های قفقاز). بیشترین فراوانی گونه *Gephyrocapsa caribbeanica* در تجمعات فسیلی پلئیستوسن میانی است (باومن و فریتگ، ۲۰۰۴) و حضور این گونه در بخش میانی سازند آپشرون نشان‌دهنده تاثیر پذیرفتن حوضه خزر جنوبی از روند تغییرات جهانی مرتبط با پلئیستوسن میانی دارد که در نتیجه برقراری ارتباط با آب‌های آزاد ایجاد شده است. بدیهی است که تکمیل، تایید و حتی رد این نتایج نیاز به بررسی‌های جامع‌تر توالی‌های رسوبی سازندهای آچاگیل

یادآور می‌شود که اسلایدهای نانوفسیلی مطالعه شده از نمونه‌های خردۀ حفاری تهیه شده‌اند و گونه‌های نام برده شده، گونه‌هایی ظرفی و کوچک (حدود ۶ میکرون) هستند و در صورتی در زیر میکروسکپ نوری ظاهر می‌شوند که به میزان کافی و با فراوانی بالا در رسوبات موجود باشند. بنابراین به نظر می‌رسد که جریان‌های دریایی در زمان ارتباط حوضه خزر با دریاهای سیاه و مدیترانه چشمگیر بوده و می‌توان بیان داشت که این ارتباط از طریق چند راه ارتباطی ایجاد شده است (مانند

آقچاگیل و آپشرون تایید کننده وجود ارتباط حوضه خزر جنوبی با حوضه‌های دریای سیاه و مدیترانه در زمان‌های پلئیستوسن پایینی و میانی (با توجه به وجود گونه‌های فسیلی نامبرده شده) و عدم وجود ارتباط در بازه زمانی انتهای پلیوسن-شروع پلئیستوسن به دلیل عدم حضور نانوفسیل‌های آهکی در بخش ابتدایی سازند آقچاگیل است، که برای اولین بار در این مطالعه و در بخش ایرانی حوضه خزر جنوبی مطرح می‌گردد.

### تشکر و قدردانی

نویسنده‌گان از داوران محترم نشریه رسوب‌شناسی کاربردی که در جهت ارتقای کیفیت این مقاله، پیشنهادات ارزندهای ارایه نمودند، کمال تشکر و قدردانی را دارند.

### منابع

پرنیان، ب.، وحید، ا.، حمزه، س.، محمد، ب (۱۴۰۰) زیست چینه‌نگاری، رخساره و چینه‌نگاری سکانسی سازند سروک در برش‌های رشتalo و خارتو، فارس نیمه‌ساحلی، زاگرس، ایران. نشریه رسوب‌شناسی کاربردی، دوره ۹، جلد ۱۷، ص ۱۴۵-۱۲۷، ۱۰.22084/PSJ.2021.22084.1247.

یوسفی، ر (۱۳۹۳) مطالعه مشخصات سنگ‌شناسی و شرایط محیطی سازندهای چلکن، آقچاگیل و آپشرون در میدان نفتی سردار جنگل، خزر جنوبی، پایان‌نامه کارشناسی ارشد. دانشگاه تهران، ۱۲۷ ص.

Abdullayev, N. A., Kadirov, F., Guliyev, S (2015) Subsidence history and basin-fill evolution in the South Caspian Basin from geophysical mapping, flexural backstripping, forward lithospheric modelling and gravity modelling. In Brunet, M.-F., McCann, T., Sobel, E. R. (eds) Geological Evolution of Central Asian Basins and the Western Tien Shan Range. Geological Society, London, Special Publications, 427. <https://doi.org/10.1144/SP427.5>.

Abdullayev, E., Leroy, S. A. G (2016) Provenance of clay minerals in the sediments from the Pliocene Productive Series, western South Caspian Basin. Marine and Petroleum Geology, 73: 517-527.

Abdullayev, Nazim R., Gregory W. Riley, and Andrew P. Bowman (2010) Regional controls on lacustrine sandstone reservoirs: The Pliocene of the South Caspian Basin, in O. W. Baganz, Y. Bartov, K. Bohacs, and D. Nummendal, eds., Lacustrine sandstone reservoirs and hydrocarbon systems. AAPG Memoir, 95: 1-28.

Abrams, M. A., Narimanov, A. A (1997) Geochemical evaluation of hydrocarbons and their potential sources in the western South

و آپشرون در بخش‌های مختلف حوضه خزر جنوبی به ویژه در بخش‌های مرکزی تر این حوضه دارد چراکه در این بخش‌ها احتمال حفظشدن نانوفسیل‌ها و سایر گروه‌های فسیلی دریایی به دلیل دور بودن از ناحیه منشا و دانه‌ریزتر بودن رسوبات بیشتر است.

### نتیجه‌گیری

مطالعات رسوب‌شناسی و فسیل‌شناسی بر اساس نانوفسیل‌های آهکی در یک برش تحت‌الارضی در دشت گرگان واقع در حوضه خزر جنوبی صورت گرفته است. سازند آقچاگیل در ناحیه مورد مطالعه متشدّل از واحدهای ماسه‌سنگ پایینی و سنگ‌آهک بالایی است که تفاوت آشکار سنگ‌شناسی این سازند با توالی‌های معادل آن در کشورهای همجوار را آشکار می‌کند. مطالعات سنگ‌شناسی منجر به شناسایی پتروفاسیس ماسه‌سنگی لیت‌آرنایت تا ساب‌لیت‌آرنایت و لیت‌آرنایت فلدسپات‌دار در سازند آقچاگیل و لیت‌آرنایت و لیت‌آرنایت فلدسپات‌دار و رخساره پاراکنگلومرای پلی‌میکتیت در سازند آپشرون همراه با رسوبات دانه‌ریز مادستون و رسنگ گردیده است. رخساره‌های سنگ‌آهک در سازند آقچاگیل در ناحیه مورد مطالعه عمده‌تا از نوع سنگ‌آهک فسیل‌دار و اییدار و مادستون استراکودار است که دارای مقادیر قابل توجه تخلخل به فرم‌های قالبی، حفره‌ای و فنس‌تال است. این ویژگی‌ها بیانگر پتانسیل بالای این سازند برای معرفی به عنوان سنگ مخزن در بخش ایرانی حوضه خزر جنوبی می‌باشد و از این‌رو ضرورت انجام مطالعات اکتشافی بر روی این سازند به ویژه در بخش‌های جنوبی تر و نزدیک به منشا این حوضه را مطرح می‌نماید. بر اساس گونه‌های نانوفسیلی شناسایی شده شامل آخرین حضور *Discoaster* و *Discoaster brouweri* گونه‌های *Reticulofenestra* cf. *varriabilis* و سپس ثبت گونه *asanoi*. گذر از مرز پلیوسن - پلئیستوسن و پلئیستوسن آغازی برای رسوبات سازند آقچاگیل در ناحیه مورد مطالعه در نظر گرفته شده است. همچنین ثبت گونه‌های *Gephyrocapsa* spp. *Gephyrocapsa asanoi* و *Gephyrocapsa caribbeanica* سازند آپشرون، سن پلئیستوسن میانی را برای این بخش پیشنهاد می‌کند. الگوی توزیع و گسترش جنس و گونه‌های نانوفسیلی در توالی مطالعه شده سازندهای

- from the Caspian Sea: a unique brackish, deep-water environment. *Palaeogeography, Palaeoclimatology, Palaeoecology*, 225 (1-4): 173-186.
- Brunet, M.-F., Korotaev, M. V., Ershov, A. V., and Nikishin, A. M (2003) The South Caspian Basin: A review of its evolution from subsidence modelling: *Sedimentary Geology*, 156: 119-148.
- Chi, G., P. S. Giles, M. A. Williamson, D. Lavoie, R. Bertrand (2003) Diagenetic history and porosity evolution of Upper Carboniferous sandstones from the Spring Valley #1 well, Maritimes Basin, Canada-implications for reservoir development. *Journal of Geochemical Exploration*, 80: 171-191.
- Folk, R. L (1980) *Petrology of Sedimentary Rocks*. Hamphill, Austin, Texas, 182 p.
- Hearty, P. J., Kindler, P., Cheng, H., Edwards, R. L (1999) A+20m middle Pleistocene sea highstand (Bermuda and the Bahamas) due 375-378.
- Hinds, D. J. E. Aliyeva, M. B. Allen, C. E. Davies, S. B. Kroonenberg, M. D. Simmons, and S. J. Vincent (2004) Sedimentation in a discharge dominated fluvial-lacustrine system: The Neogene Productive Series of the South Caspian Basin, Azerbaijan: Marine and Petroleum Geology, 21: 613-638.
- Krijgsman, W., Palcu, D.V., Andreetto, F., Stoica, M., Mandic, O (2020) Changing seas in the late Miocene Northern Aegean: A Paratethyan approach to Mediterranean basin evolution. *Earth-Science Reviews*, 210: 103386.
- Krijgsman, W., Stoica, M., Vasiliev, I., Popov, V.V (2010) Rise and fall of the paratethys sea during the messinian salinity crisis. *Earth Planet. Sci. Lett.*, 290: 183-191.
- Maiorano, P. & Marino, M (2004) Calcareous nannofossil bioevents and environmental control on temporal and spatial patterns at the early-middle Pleistocene. *Marine Micropaleontology*, 53: 405-422.
- Mikes, T. and Báldi-Beke, M. and Kázmér, M. and Dunkl, I. and Eynatten, H. von (2008) Calcareous nannofossil age constraints on Miocene flysch sedimentation in the Outer Dinarides (Slovenia, Croatia, Bosnia-Herzegovina and Montenegro). *Geological Society, London, Special Publications*, 298 (1): 335-363.
- Martini, E (1971) Standard Tertiary and Quaternary calcareous nannoplankton zonation, in Proceedings of the Second Planktonic Conference Roma 1970, (ed. A. Farinacci), Edizioni Tecnoscienza, Rome, 2: 739-785.
- Perch-Nielsen, K (1985) Cenozoic calcareous nannofossils. In Bolli, H. M., Saunders, J.B., and Perch-Nielsen, K. (Eds.), *Plankton from the Caspian Sea: a unique brackish, deep-water environment. Palaeogeography, Palaeoclimatology, Palaeoecology*, 225 (1-4): 173-186.
- Agard, P., Omrani, J., Jolivet, L., Whitechurch, H., Vrielynck, B., Spakman, W., Monié, P., Meyer, B., Wortel, R (2011) Zagros orogeny: a subduction-dominated process. *Geology Magazine*, 148(5-6): 692-725.
- Agnini, C., Monechi, S., Raffi, I (2017) Calcareous nannofossil biostratigraphy: historical background and application in Cenozoic chronostratigraphy. *Lethaia*, 50(3): 447-463.
- Allen, M. B., Vincent, S. J., Alsop, G. I., Ismail-Zadeh, A., and Flecker, R (2003) Late Cenozoic deformation in the South Caspian region: Effects of a rigid basement block within a collision zone. *Tectonophysics*, 366: 223-239.
- Badertscher, S., Fleitmann, D., Cheng, H.; Edwards, R.L., Göktürk, O.M., Zumbül, A., Leuenberger, M., Tüysüz, O (2011) Pleistocene water intrusions from the mediterranean and caspian seas into the black sea. *Nature Geoscience* 4: 236-239.
- Ballato, P., Cifelli, F., Heidarzadeh, Gh., Ghassemi, M. R., Wickert, A. D., Hassanzadeh, J., Dupont-Nivet, G., Ph., Balling, Sudo, M., Zeilinger, G., Schmitt, A.k., Mattei, m., and Strecker, m.r (2011) Tectono-sedimentary evolution of the northern Iranian Plateau: insights from middle-late Miocene foreland-basin deposits. *Basin Research*, 29(4): 1-30.
- Baumann, K. -H. & Freitag, T (2004) Pleistocene fluctuations in the northern Benguela Current system as revealed by coccolith assemblages. In, Villa, G., Lees, J. A. & Bown, P. R. (eds) *Calcareous Nannofossil Palaeoecology and Palaeoenographic Reconstructions*, Proceedings of the INA9 conference, Parma 2002. *Marine Micropaleontology*. 52(1-4): 195-215.
- Bergen, J. A., de Kaenel, E., Blair, S. A., Boesiger, T. M. & Browning, E (2017) Oligocene-Pliocene taxonomy and stratigraphy of the genus *Sphenolithus* in the circum North Atlantic Basin: Gulf of Mexico and ODP Leg 154. *Journal of Nannoplankton Research*, 37(2-3): 77-112.
- Bown, P. R (1998) *Calcareous Nannofossil Biostratigraphy*. British Micropalaeontological Society Publications Series. Chapman & Hall, London, 315p.
- Bown, P. R (2016) Palaeocene calcareous nannofossils from Tanzania (TDP sites 19, 27 and 38). *Journal of Nannoplankton Research*, 36 (1): 1-32.
- Boomer, I., Whatley, R., Aladin, N. V (1996) Aral Sea Ostracoda as environmental indicators. *Lethaia*, 29 (1): 77-85.
- Boomer, I., von Grafenstein, U., Guichard, F., Bieda, S (2005) Modern and Holocene sublittoral ostracod assemblages (Crustacea)

- “crisis”. In: *Earth-Science Reviews*, 172: 193–223.
- Vincent, S., Allen, M., Ismail-Zadeh, A., Flecker, R., Foland, K., Simmons, M (2005) Insights from the Talysh of Azerbaijan into the Paleogene Evolution of the South Caspian Region. *Geological Society of America Bulletin*, 117: 1513-1533.
- Vincent, S. J., Davies, C.E., Richards, K., Aliyeva, E (2010) Contrasting pliocene fluvial depositional systems within the rapidly subsiding south caspian basin; a case study of the Palaeo-Volga and palaeo-kura river systems in the Surakhany suite, upper productive series, onshore Azerbaijan. *Mar. Pet. Geol.*, 27: 2079-2106.
- Yanina, T. A (2012) “Correlation of the Late Pleistocene paleogeographical events of the Caspian Sea and Russian Plain”. In: *Quaternary International*, 271: 120–129.
- Yasini, I (1986) Ecology, Paleoecology, and stratigraphy of ostracodes from Late Pliocene and Quaternary deposits of the South Caspian Sea region in northern Iran. *International Symposium on Shallow Tethys 2*, Wagga, 475–497.
- Young, J. R (1998) Neogene. In Bown, P. R. (Ed.), *Calcareous Nannofossil Biostratigraphy*. British Micropalaeontological Society Publications Series. Chapman & Hall, London, 225-265.
- Young, J. R., Bown P. R., Lees, J. A (2017) Nannotax3 website. International Nannoplankton Association. Accessed 21 Apr. 2017. URL.
- stratigraphy: Cambridge (Cambridge Univ. Press), 427-554.
- Popov, S. V., Antipov, M. P., Zastrozhnov, A. S., Kurina, E. E., Pinchuk, T. N (2010) Sea level Fluctuations on the Northern Shelf of the Eastern Paratethys in the Oligocene–Neogene. *Stratigraphy and Geological Correlation*, 18: 200–224.
- Popov, S. V., Ilyina, L.B., Paramonova, N. P., Goncharova, I. A (2004) Lithologicalpaleogeographic maps of Paratethys. *Cour. Forsch.Inst. Senckenb.*, 250: 1–46.
- Popov, S. V., I. G. Sheherba, L. B. Ilyina, L. A. Nevesskaya, N. P. Paramonova, S. O. Khondkarian, and I. Magyar (2006) “Late Miocene to Pliocene palaeogeography of the Paratethys and its relation to the Mediterranean”. In: *Palaeogeography, Palaeoclimatology, Palaeoecology*, 238: 91–106.
- Raffi, I., Agnini, C., Backman, J., Catanzariti, R., Pälike, H (2016) A Cenozoic calcareous nannofossil biozonation from low and middle latitudes: A synthesis. *Journal of Nannoplankton Research*, 36 (2): 121–13.
- Reed, J. S., Eriksson, K. A., Kowalewski, M (2005) Climatic, depositional and burial controls on diagenesis of Appalachian Carboniferous sandstones: qualitative and quantitative methods. *Sedimentary Geology*, 176: 225–246.
- Rezaeian, M., Carter, A., Hovius, N., and Allen, M.B (2012) Cenozoic exhumation history of the Alborz Mountains, Iran: New constraints from low-temperature chronometry. *Tectonics*, 31: TC2004.
- Roth, P. H (1983) Jurassic and Lower Cretaceous Calcareous Nannofossils in the Western North Atlantic (Site 534): Biostratigraphy, Preservation, and Some Observations on Biogeography and Paleoceanography. In: Sheridan, R.E., Gradstein, F.M., et al. (Eds.), *Initial Reports of the deep sea Drilling Project*. 76: 587-621.
- Schornikov, E. I (2011) Problems of studying Ostracoda of the Caspian basin. *Joansea Geol. Paläont.*, 11: 177-179
- Scotese, C. R (2016) “PALEOMAP PaleoAtlas for GPlates and the PaleoData Plotter Program, PALEOMAP Project”. In: See <http://www.earthbyte.org/paleomap-paleoatlas-for-gplates.10.13140/RG.2.2.34367.00166>.
- Terry, R. D., Chilingar, G. V (1955) Summary of “Concerning some additional aids in studying sedimentary formations,” by M. S. Shvetsov: *Journal of Sedimentary Research*, 25: 229-234.
- van Baak, C. G. C., W. Krijgsman, I. Magyar, O. Szstanó, L. A. Golovina, A. Grothe, T. M. Hoyle, O. Mandic, I. S. Patina, S. V. Popov, E. P. Radionova, M. Stoica, and I. Vasiliev (2017) “Paratethys response to the Messinian salinity